

doi: [10.12097/gbc.2022.10.022](https://doi.org/10.12097/gbc.2022.10.022)

北山地区发现与古亚洲洋打开相关的新元古代岩浆岩

王二腾, 翟新伟*, 陈万峰, 武磊, 宋高瑞, 王金荣*

WANG Erteng, ZHAI Xinwei*, CHEN Wanfeng, WU Lei, SONG Gaorui, WANG Jinrong*

兰州大学地质科学与矿产资源学院/甘肃省西部矿产资源重点实验室, 甘肃兰州 730000

School of Earth Science, Lanzhou University/Key Laboratory of Mineral Resources in Western China (Gansu Province), Lanzhou 730000, Gansu, China

摘要:【研究目的】中亚造山带南缘北山地区分布的前寒武系岩石对研究古亚洲洋的形成演化及成矿具有重要的价值,但北山地区与古亚洲洋打开相关的岩浆证据发现极少,北山红山铁矿的形成时代也缺少精确的同位素年代学约束。【研究方法】基于此,在野外调查的基础上,对研究区新发现的新元古代岩浆岩开展了锆石U-Pb年代学和地球化学研究。【研究结果】北山地区中部独红山辉长岩和与红山铁矿相关的安山质凝灰岩年龄分别为765 Ma和756 Ma,且辉长岩地球化学特征具有板内(大陆)裂谷构造背景。【结论】结合已有研究和区域构造演化,认为古亚洲洋南段在北山地区打开的时限不早于765 Ma,北山红山铁矿形成于南华纪(756 Ma)。

关键词:北山地区;古亚洲洋打开;新元古代;岩浆岩

创新点:古亚洲洋南段在中亚造山南缘北山地区打开的时限不早于765 Ma。

中图分类号: P534.3; P588.1 文献标志码: A 文章编号: 1671-2552(2025)01-0129-07

Wang E T, Zhai X W, Chen W F, Wu L, Song G R, Wang J R. Neoproterozoic magmatic rocks associated with the opening of Paleo-Asian Ocean in Beishan area. *Geological Bulletin of China*, 2025, 44(1): 129–135

Abstract: [Objective] Precambrian rocks distributed in the Beishan area, located in the southern Central Asian Orogenic Belt, is significant for the study of the formation of the Paleo-Asian Ocean (PAO) and its associated mineralization. However, there are no constraints on the magmatism related to opening of PAO, and there is a lack of accurate chronological data regarding the formation of the Hongshan Iron Ore (HIO) deposits in the Beishan area. **[Methods]** We present the results of field investigations, zircon U-Pb dating, and geochemical analyses of the gabbro and andesitic tuff found in the central Beishan area. **[Results]** The new U-Pb dating results reveal the crystallization ages of the gabbro and andesitic tuff crystallized at 765 Ma, 756 Ma, respectively. The geochemical composition of the gabbro is indicative of an intraplate rift setting, suggesting a continental tectonic environment during its formation. **[Conclusions]** Integrating our findings with previous studies, we infer that the southern PAO had opened before 765 Ma in the Beishan area. Additionally, we conclude that the HIO formation occurred during the Nanhuanian Period (756 Ma).

Key words: Beishan area; opening time of Paleo-Asian Ocean; Neoproterozoic; magmatic rocks

Highlights: The opening of the southern Palaeo-Asian Ocean in the Beishan area, southern Central Asian orogenic belt is constrained to no earlier than 765 Ma.

收稿日期: 2022-10-18; 修订日期: 2023-02-08

资助项目: 科技部核设施退役治理专项资助科研项目《北山地下实验室场址深部地质构造特征及成因机理研究(第一阶段)》(编号: 科工二司【2020】194号)、第二次青藏高原科学考察《活动断裂与地震灾害》(编号: 2019QZKK0901) 和中央高校基本科研业务费《北山新场花岗岩类成因及构造机制》(编号: lzujbky-2023-it17)

作者简介: 王二腾(1997-), 男, 在读博士生, 从事岩石大地构造研究。E-mail: wanget19@lzu.edu.cn

* 通信作者: 翟新伟(1976-), 男, 博士, 副教授, 从事构造地质学教学研究工作。E-mail: zhaixw926@lzu.edu.cn

王金荣(1957-), 男, 博士, 教授, 从事岩石学与大地构造教学研究工作。E-mail: jrwang@lzu.edu.cn

罗迪尼亞(Rodinia)超大陸在新元古代匯聚-裂解,形成古亞洲洋,其演化過程中伴隨的岩漿-構造活動及成礦作用是首要解決的科學問題。北山地區位於中亞造山帶南緣中段(圖1-a),發育大量與羅迪尼亞超大陸匯聚相關的新元古代中期岩漿活動(905~870 Ma)和與大洋俯沖-閉合相關的古生代岩漿活動(姜洪穎等,2013;葉曉峰等,2013;Liu et al., 2015;牛文超等,2019;Xiao et al., 2010;Wang et al., 2021;李沅柏等,2021),被視為研究羅迪尼亞超大陸匯聚-裂解和古亞洲洋打開-擴張-俯沖-關閉的重要地區。但由於前寒武紀地層、構造、岩漿岩等遭受後期古生代岩漿-構造熱事件強烈的疊加和破壞,北山地區保留的前寒武紀岩石較少(圖1-b)。因此,北山地區很少發現與羅迪尼亞超大陸裂解,即古亞洲洋打開相關的岩漿岩證據,致使該區關於古亞洲洋的形成時限及機制研究存在很大的空白。另外,位於北山地區的紅山鐵礦是與火山活動有關的大型淺海相沉積變質型鐵礦(左國朝等,2010),因測年介質的匱乏,其具體形成年代主要依據區域地層對比,缺乏精確的同位素年齡,制約了該礦床的成因研究。針對上述2個問題,本文基於野外調查,對北山地區中部(圖1-b)

新發現的新元古代中期獨紅山(紅山鐵礦區域)輝長岩和位於紅山鐵礦4礦區的賦礦圍岩安山質凝灰岩(圖版I)開展鋯石U-Pb測年和地球化學研究,為研究古亞洲洋的演化時限和完善北山地區前寒武紀構造演化過程提供新的岩石學約束。

1 研究方法

本文在野外調查的基礎上,對輝長岩中斜鋯石、安山質凝灰岩中鋯石使用LA-ICP-MS進行U-Pb同位素分析。斜鋯石分析在中國地質調查局西安地質調查中心國土資源岩漿成礦與找礦重點實驗室完成,鋯石和輝長岩地球化學分析在蘭州大學甘肅省西部礦產資源重點實驗室完成。斜鋯石分析使用斜鋯石標樣Phalaborwa(PHA)用於外標,計算同位素分馏效應和質量漂移,利用BUSTER軟件進行校正計算,未對數據進行普通鉛校正。鋯石採用91500和NIST610標樣分別作為外部標準樣和元素含量的外標樣,分析結果見表1。

2 研究結果

輝長岩體與寒武系雙鷹山組和奧陶系羅雅楚山

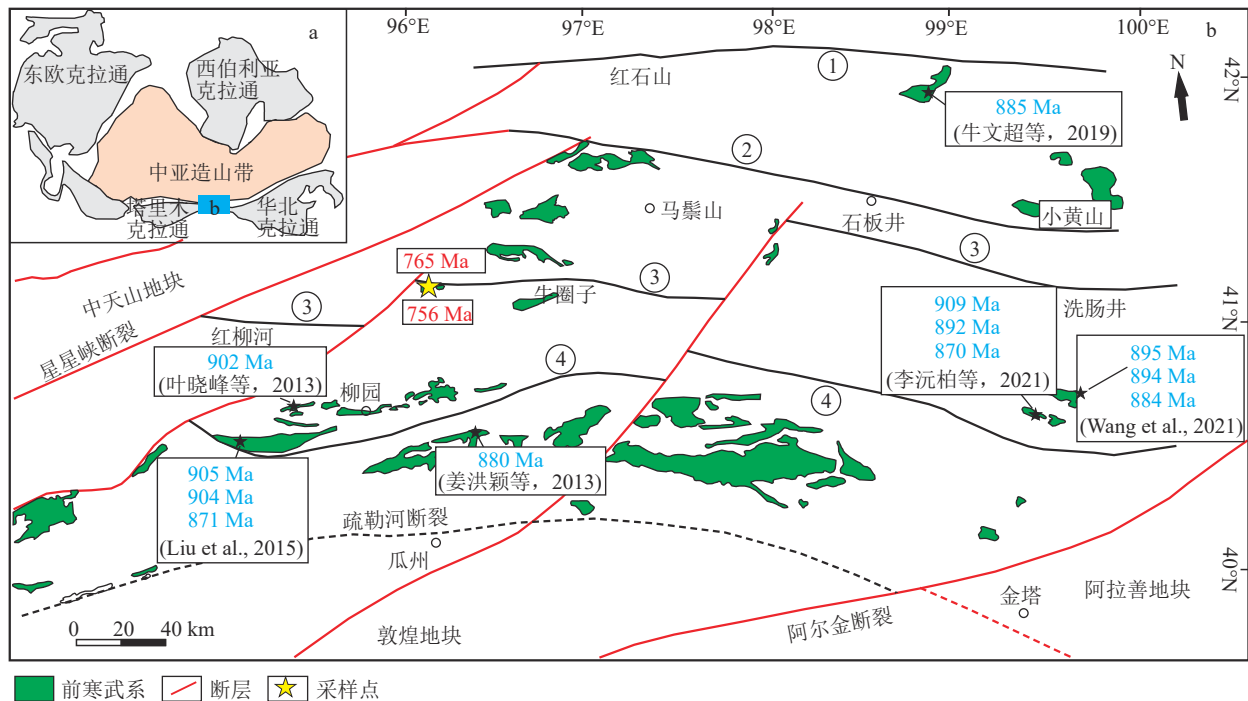
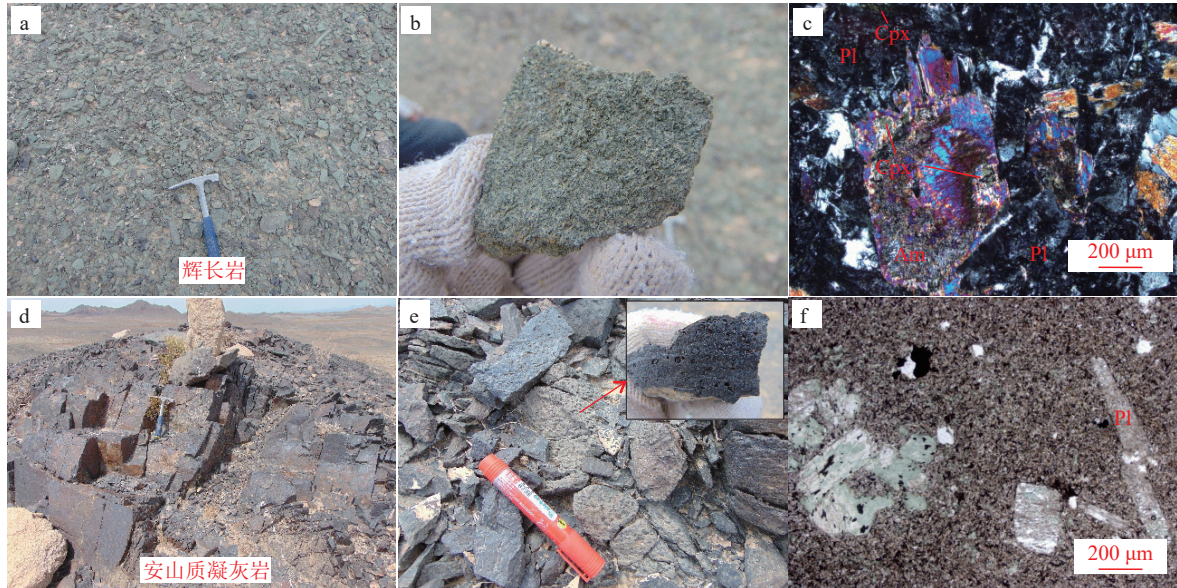


图1 北山地区大地构造位置图(a)和前寒武纪岩石分布地质简图(b)(据 Xiao et al., 2010 修改)

Fig. 1 Tectonic map (a) and simplified geological map of the distribution of Precambrian rocks (b) in the Beishan area

①—红石山蛇绿岩带;②—明水-小黄山蛇绿岩带;③—红柳河-牛圈子-洗肠井蛇绿岩带;④—辉铜山-账房山蛇绿岩带

图版 I Plate I



a.辉长岩野外露头; b.辉长结构; c.辉长岩显微照片,由斜长石(Pl)、辉石(Cpx)和角闪石(Am)组成; d.安山质凝灰岩露头;
e.杏仁状气孔结构; f.火山碎屑岩和斜长石斑晶组成凝灰结构

组呈断层接触,岩体主要由辉长岩组成(图版 I-a)。辉长岩为灰绿色,中细粒辉长结构(图版 I-b),块状构造,主要由辉石、角闪石和斜长石组成,部分辉石被角闪石和斜长石交代(图版 I-c)。辉长岩中斜锆石呈短柱状,阴极发光(CL)图像见岩浆振荡环带(图 2-a)。25 颗斜锆石颗粒(22NH1)的 $^{206}\text{Pb}/^{238}\text{U}$ 年龄为 $812 \pm 37\sim741 \pm 14$ Ma,其年龄加权平均值为 765 ± 10 Ma(MSWD=0.66)(图 2-a),代表辉长岩的形成时代为新元古代。辉长岩具低 SiO_2 (47.22%~50.24%)、 K_2O (0.19%~0.99%)和 Na_2O (1.43%~2.70%)含量,高 CaO (11.57%~12.28%)、 MgO (8.06%~8.31%)和 TFe_2O_3 (11.50%~11.63%)含量,属于钙碱性拉斑玄武岩系列。岩石亏损 Rb 、 Nb 、 Ta 和 Ti ,富集 Th 和 U (图 3), Th/Hf 值为 0.14~0.15,具有大陆板内玄武岩特征,形成于板内(大陆)裂谷构造背景(图 4)。

安山岩质凝灰岩与奥陶系罗雅楚山组呈断层接触。岩石为灰黑色,细粒凝灰结构,块状构造(图版 I-d),见杏仁状气孔结构(图版 I-e),主要由火山碎屑(75%)和斜长石(25%)组成凝灰结构(图版 I-f)。安山质凝灰岩中锆石(22NA1)为短柱状,CL 图见岩浆振荡环带(图 2-b), Th/U 值为 1.14~6.25,属于岩浆锆石。其中 6 颗 $^{206}\text{Pb}/^{238}\text{U}$ 年龄大于 1000 Ma,为捕获锆石,其余 10 颗锆石的 $^{206}\text{Pb}/^{238}\text{U}$ 年龄在 $810 \pm 34\sim745 \pm 25$ Ma 之间,年龄加权平均值为 756 ± 23 Ma

(MSWD = 2.2)(图 2-b),指示安山质凝灰岩形成于新元古代。

3 讨 论

北山地区蛇绿岩带的研究表明,古亚洲洋于早寒武世开始发生俯冲消减(Cleven et al., 2015),广泛发育的中酸性、双峰式晚古生代岩浆活动标志着古亚洲洋在晚古生代消亡(Zheng et al., 2020)。说明北山地区在前寒武纪处于拉伸阶段,即大洋在前寒武纪以前已经形成,具体的形成时限仅为最近报道的形成于 765 Ma 的 A_1 型花岗岩(卜涛等,2022),并未发现其他的年龄数据。而本文报道的北山地区牛圈子辉长岩和安山质凝灰岩年龄分别为 765 Ma 和 756 Ma。辉长岩地球化学具有拉斑玄武岩特征,形成于板内(大陆)裂谷构造背景(图 4),指示可能与罗迪尼亞超大陆的裂解相关,说明北山地区发育一套与古亚洲洋打开相关的新元古代岩浆活动和火山碎屑岩。

研究表明,古亚洲洋的形成是罗迪尼亞超大陆裂解以后的产物。而罗迪尼亞超大陆的汇聚-裂解于 1300~900 Ma 在全球范围内开始,中亚地区广泛发育的碱性火山岩、双峰式火山岩等是罗迪尼亞超大陆裂解的直接证据(Wan et al., 2018)。在新元古代中期(约 850 Ma)一寒武纪,罗迪尼亞超大陆在中亚地区处于由裂谷扩张为古亚洲洋阶段(Li et al.,

表 1 LA-ICP-MS 辉长岩 (22NH1) 斜锆石和安山质凝灰岩 (22NA1) 锆石 U-Th-Pb 分析结果

Table 1 LA-ICP-MS baddeleyite and zircon U-Th-Pb dating results of gabbro (22NH1) and andesitic tuff (22NA1)

样品点	同位素比值				年龄/Ma				Th/U
	$^{207}\text{Pb}/^{235}\text{U}$		$^{206}\text{Pb}/^{238}\text{U}$		$^{207}\text{Pb}/^{235}\text{U}$		$^{206}\text{Pb}/^{238}\text{U}$		
22NH1-1	1.117 129	0.067 129	0.121 764	0.002 376	760	33	741	14	
22NH1-2	1.264 123	0.119 984	0.130 855	0.006 655	827	53	792	38	
22NH1-3	1.121 016	0.071 244	0.118 706	0.005 253	761	35	723	30	
22NH1-4	1.192 607	0.104 843	0.129 957	0.007 484	793	47	787	43	
22NH1-5	1.159 991	0.108 900	0.128 444	0.005 101	776	52	779	29	
22NH1-6	1.196 924	0.089 732	0.126 729	0.004 735	795	41	769	27	
22NH1-7	1.222 216	0.085 535	0.127 834	0.005 236	809	38	775	30	
22NH1-8	1.183 342	0.082 417	0.126 931	0.006 272	791	38	770	36	
22NH1-9	1.147 928	0.043 166	0.123 183	0.004 378	775	20	749	25	
22NH1-10	1.171 261	0.053 922	0.127 390	0.005 529	787	26	773	32	
22NH1-11	1.218 945	0.062 680	0.132 010	0.004 891	807	29	799	28	
22NH1-12	1.158 849	0.055 603	0.129 926	0.003 349	779	26	787	19	
22NH1-13	1.487 374	0.108 175	0.134 216	0.006 542	922	44	812	37	
22NH1-14	1.079 578	0.040 262	0.123 204	0.003 824	743	20	749	22	
22NH1-15	1.171 701	0.043 205	0.124 850	0.005 035	787	20	758	29	
22NH1-16	1.403 479	0.168 475	0.128 608	0.007 667	886	69	780	44	
22NH1-17	1.206 492	0.090 860	0.129 735	0.006 194	801	42	786	35	
22NH1-18	1.148 425	0.042 905	0.124 176	0.004 229	776	20	755	24	
22NH1-19	1.128 534	0.073 536	0.127 147	0.003 716	763	36	771	21	
22NH1-20	1.188 456	0.038 565	0.122 574	0.005 935	795	18	745	34	
22NH1-21	1.163 731	0.080 875	0.123 863	0.004 524	783	37	753	26	
22NH1-22	1.191 809	0.065 867	0.122 917	0.003 866	796	31	747	22	
22NH1-23	1.219 003	0.063 952	0.130 849	0.004 897	808	30	793	28	
22NH1-24	1.190 767	0.062 231	0.130 884	0.004 749	796	29	793	27	
22NH1-25	1.285 008	0.098 125	0.128 891	0.012 415	838	45	781	71	
22NA1-1	1.102 82	0.030 2	0.127 28	0.002 88	772	16	755	15	1.61
22NA1-2	1.093 54	0.039 44	0.117 06	0.002 87	714	17	750	19	2.22
22NA1-3	1.168 55	0.036 93	0.128 75	0.003 44	781	20	786	17	1.14
22NA1-4	1.103 48	0.041 22	0.129 22	0.003 57	783	20	755	20	1.32
22NA1-5	1.120 34	0.041 14	0.118 79	0.003 37	724	19	763	20	2.44
22NA1-6	1.081 98	0.051 87	0.118 96	0.003 81	725	22	745	25	2.70
22NA1-7	1.144 55	0.049 78	0.128 86	0.004 37	781	25	775	24	1.69
22NA1-8	1.745 39	0.080 37	0.172 03	0.006 03	1023	33	1025	30	2.00
22NA1-9	1.219 76	0.075 09	0.132 54	0.005 63	802	32	810	34	2.44
22NA1-10	1.129 36	0.082 45	0.123 81	0.005 52	752	32	767	39	6.25
22NA1-11	1.855 48	0.126 7	0.166 54	0.007 7	993	43	1065	45	2.50
22NA1-12	1.168 07	0.087 71	0.131 38	0.006 37	796	36	786	41	1.92
22NA1-13	3.051 15	0.297 45	0.247 21	0.013 98	1424	72	1421	75	1.35
22NA1-14	4.559 78	0.517 83	0.316 74	0.019 04	1774	93	1742	95	1.43
22NA1-15	4.431 74	0.546 98	0.305 34	0.019 44	1718	96	1718	102	1.89
22NA1-16	5.585 15	0.789 92	0.343 94	0.023 34	1906	112	1914	122	1.61

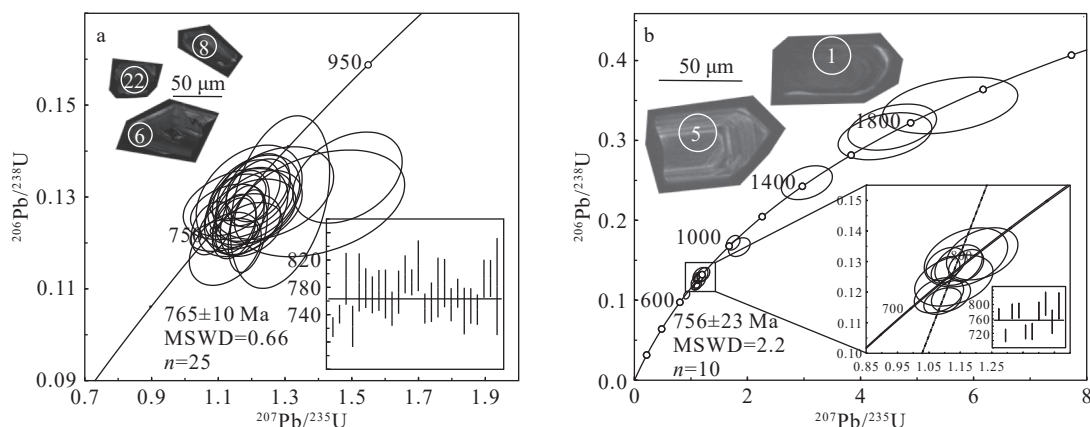


图2 辉长岩斜锆石(a)和安山质凝灰岩(b)锆石U-Pb年龄图

Fig. 2 U-Pb concordia diagrams for baddeleyite of gabbro (a) and zircon of andesitic tuff (b)

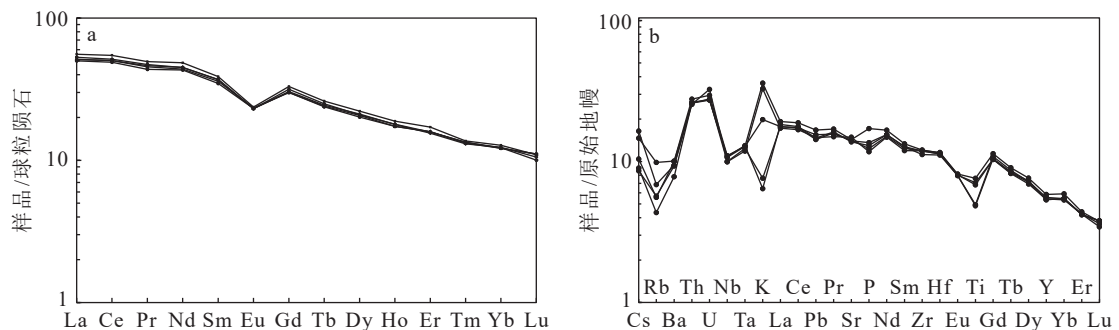


图3 辉长岩球粒陨石标准化稀土元素配分图(a)和原始地幔标准化微量元素蛛网图(b)(标准数据据 Sun et al., 1989)

Fig. 3 Chondrite-normalized rare earth element patterns (a) and primitive mantle normalized trace elements diagrams (b) for gabbro

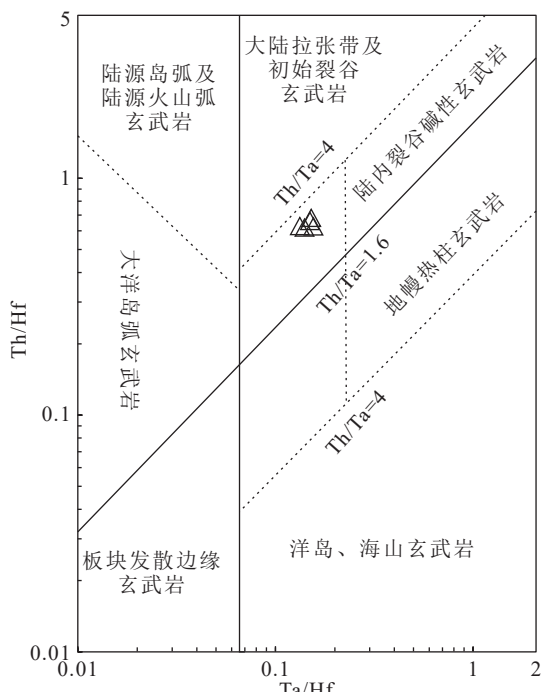


图4 辉长岩Ta/Hf-Th/Hf图解

Fig. 4 Ta/Hf-Th/Hf diagram of gabbro

2008)。根据已报道的研究, 中亚造山带南缘塔里木、柴达木、敦煌-阿拉善地块及华北地块中保存有大量的新元古代岩浆、变质记录, 这些事件被认为是这些地块参与到新元古代罗迪尼亞超大陆汇聚-裂解的直接证据(He et al., 2018; Huang et al., 2022; Zheng et al., 2022), 如中亚造山带南缘天山发育的 900 Ma 左右的岩浆事件, 华北克拉通 835 Ma 的板内拉斑辉长岩及苏鲁超高压变质体原岩记录的扬子板块 780 Ma 的裂解事件(Xu et al., 2005; 许志琴等, 2006; 朱强等, 2018)。

北山地区位于中亚造山带南缘中段, 西接天山造山带, 保留了较多的前寒武纪微陆块, 特别是新元古代岩浆活动较发育, 是研究古亚洲洋打开-扩张的重要区域。北山地区已报道的新元古代岩浆活动有柳园花岗岩(902 Ma)、古堡泉正片麻岩(905~871 Ma)、红石山花岗片麻岩(885 Ma)、花牛山花岗片麻岩(900~890 Ma)、双鹰山花岗片麻岩(895~894 Ma)和黑云母二长花岗岩(892 Ma)及 A₂ 型流纹岩(870 Ma), 这些新元古代中期岩浆活动均形成于碰撞-后

碰撞构造背景(姜洪颖等, 2013; 叶晓峰等, 2013; Liu et al., 2015; 牛文超等, 2019; Wang et al., 2021; 李沅柏等, 2021)。说明北山地区在 905~870 Ma 处于陆-陆碰撞阶段, 而这些岩浆活动可能是罗迪尼亞超大陆在北山地区汇聚-裂解的响应。另外, 北山地区明水的 784 Ma 与陆内裂谷有关的 A₁ 型花岗岩, 是北山地区发现的最早响应罗迪尼亞超大陆裂解的花岗岩浆记录(卜涛等, 2022)。在北山地区红石山埃达克岩中发现的 748 Ma 岩浆锆石和在中亚造山带南缘塔里木、天山发现的 755~740 Ma 裂谷型岩浆活动(Su et al., 2011; 杨鑫等, 2017), 可能与本文报道的辉长岩和安山质凝灰岩指示同一期构造事件, 即古亚洲洋的打开。此外, 在北山地区中部独红山、洗肠井一带广泛发育一套新元古代中期的火山碎屑沉积建造(余吉远等, 2012), 指示区域上也处于大陆裂解构造背景。

因此, 笔者认为, 北山地区在约 870 Ma 处于罗迪尼亞超大陆的汇聚-裂解转换阶段, 765 Ma 前古亚洲洋已经打开, 发育一系列裂谷型岩浆活动, 处于威尔逊旋回的胚胎期。同时, 北山红山铁矿赋矿围岩安山质凝灰岩年龄为 756 Ma, 也说明北山地区红山铁矿形成时代为南华纪(756 Ma), 指示成矿构造背景可能与古亚洲洋打开有关。

4 结 论

(1) 北山地区发现的新元古代牛圈子辉长岩和安山质凝灰岩的 LA-ICP-MS 斜锆石和锆石年龄分别为 765 Ma 和 756 Ma。

(2) 辉长岩地球化学特征具有板内裂谷背景下的拉斑玄武质岩浆性质。结合区域构造演化, 古亚洲洋南段在北山地区打开时限不早于 765 Ma。

(3) 北山红山铁矿形成于南华纪。

致谢: 对中国地质调查局西安地质调查中心汪双双高级工程师在斜锆石 LA-ICP-MS 测试, 以及审稿专家对文章提出的宝贵修改意见表示诚挚的感谢。

References

- Bu T, Wang G Q, Huang B T, et al. 2022. Neoproterozoic A-type granites in northern Beishan Orogenic Belt: Early response of the Rodinia supercontinent break-up[J]. *Acta Petrologica Sinica*, 38(10): 2988–3002 (in Chinese with English abstract).
- Cleven N, Lin S, Guilmette C, et al. 2015. Petrogenesis and implications for tectonic setting of Cambrian suprasubduction-zone ophiolitic rocks in the central Beishan orogenic collage, Northwest China[J]. *Journal of Asian Earth Sciences*, 113: 369–390.
- He Z Y, Klemd L, Zhang M, et al. 2018. The origin and crustal evolution of microcontinents in the Beishan orogen of the southern Central Asian Orogenic Belt[J]. *Earth-Science Reviews*, 185: 1–14.
- Huang B, Wang X, Li T, et al. 2022. Precambrian tectonic affinity of the Beishan Orogenic Belt: Constraints from Proterozoic metasedimentary rocks[J]. *Precambrian Research*, 376: 106686.
- Jiang H Y, He Z Y, Zong K Q, et al. 2013. Zircon U-Pb dating and Hf isotopic studies on the Beishan complex in the southern Beishan orogenic belt[J]. *Acta Petrologica Sinica*, 29(11): 3949–3967 (in Chinese with English abstract).
- Li Y B, Li H Q, Zhou W X, et al. 2021. Neoproterozoic thermal events and tectonic implications in the Beishan orogenic belt: Geochemical and geochronological evidence from two sets of granitic rocks from southern Beishan orogenic belt, Gansu Province[J]. *Geological Bulletin of China*, 40(7): 1117–1139 (in Chinese with English abstract).
- Li Z X, Bogdanova S V, Collins A S, et al. 2008. Assembly, configuration, and break-up history of Rodinia: A synthesis[J]. *Precambrian Research*, 160(1/2): 179–210.
- Liu Q, Zhao G, Sun M, et al. 2015. Ages and tectonic implications of Neoproterozoic ortho- and parageneses in the Beishan Orogenic Belt, China[J]. *Precambrian Research*, 266: 551–578.
- Niu W C, Ren B F, Ren Y W, et al. 2019. Neoproterozoic Magmatic Records in the North Beishan Orogenic Belt: Evidence of the Gneissic Granites from the Hazhu area, Inner Mongolia[J]. *Earth Science*, 44(1): 284–297 (in Chinese with English abstract).
- Su B X, Qin K Z, Sakyi P A, et al. 2011. Geochemistry and geochronology of acidic rocks in the Beishan region, NW China: Petrogenesis and tectonic implications[J]. *Journal of Asian Earth Sciences*, 41: 31–43.
- Sun S S, McDonough W F. 1989. Chemical and isotopic systematics of oceanic basalts: Implications for mantle composition and processes[J]. *Geological Society, London, Special Publications*, 42(1): 313–345.
- Wan B, Li S, Xiao W, et al. 2018. Where and when did the Paleo-Asian Ocean form? [J]. *Precambrian Research*, 317: 241–252.
- Wang B, Yang X, Li S, et al. 2021. Geochronology, geochemistry, and tectonic implications of early Neoproterozoic granitic rocks from the eastern Beishan Orogenic Belt, southern Central Asian Orogenic Belt[J]. *Precambrian Research*, 352: 106016.
- Xiao W J, Mao Q G, Windley B F, et al. 2010. Paleozoic multiple accretionary and collisional processes of the Beishan orogenic collage[J]. *American Journal of Science*, 310(10): 1553–1594.
- Xu B, Jian P, Zheng H, et al. 2005. U-Pb zircon geochronology and geochemistry of Neoproterozoic volcanic rocks in the Tarim Block of northwest China: Implications for the breakup of Rodinia supercontinent and Neoproterozoic glaciation[J]. *Precambrian Research*, 136: 107–123.

- Xu Z Q, Liu L L, Qi X X, et al. 2006. Record for Rodinia supercontinent breakup event in the south Sulu ultra-high pressure metamorphic terrane[J]. *Acta Petrologica Sinica*, 22(7): 1745–1760 (in Chinese with English abstract).
- Yang X, Xu X H, Li H L, et al. 2017. Early Neoproterozoic tectonic framework of north margin of Tarim Basin, constraints from zircon U–Pb geochronology and geochemistry[J]. *Geotectonica et Metallogenesis*, 41(2): 381–395 (in Chinese with English abstract).
- Ye X X, Zong K Q, Zhang Z M, et al. 2013. Geochemistry of Neoproterozoic granite in Liuyuan area of southern Beishan orogenic belt and its geological significance[J]. *Geological Bulletin of China*, 32(2/3): 307–317 (in Chinese with English abstract).
- Yu J Y, Li X M, Liang J W, et al. 2012. Evolution of the geological structure in Beishan area across Gansu Province, Xinjiang Autonomous Region and Inner Mongolia Autonomous Region: Constraints on the timing of opening and closing of the Beishan Paleozoic Oceanic Basin[J]. *Xinjiang Geology*, 30(2): 205–209 (in Chinese with English abstract).
- Zheng R, Li J, Xiao W, et al. 2022. A combination of plume and subduction tectonics contributing to breakup of northern Rodinia: Constraints from the Neoproterozoic magmatism in the Dunhuang–Alxa Block, northwest China[J]. *GSA Bulletin*, 135(5/6): 1109–1126.
- Zheng R, Li J, Zhang J, et al. 2020. Permian oceanic slab subduction in the southmost of Central Asian Orogenic Belt: Evidence from adakite and high-Mg diorite in the southern Beishan[J]. *Lithos*, 358/359: 105406.
- Zhu Q, Zheng Z X, Li T B, et al. 2018. Response of the North China Craton to the Rodinia supercontinent breakup: New evidence from petrochemistry, chronology and Hf isotope of the gabbro in Xiaosongshan area of northern Helan Mountain[J]. *Geological Bulletin of China*, 37(6): 1075–1086 (in Chinese with English abstract).
- Zuo G C, Liu Y K, Li S X. 2010. Metallogenesis and mechanism of Hongshan Iron deposit in Beishan region of Gansu Province[J]. *Gansu Geology*, 19(3): 9–18 (in Chinese with English abstract).

附中文参考文献

- 卜涛, 王国强, 黄博涛, 等. 2022. 北山北带新元古代A型花岗岩: Rodinia超大陆裂解早期的地质响应[J]. *岩石学报*, 38(10): 2988–3002.
- 姜洪颖, 贺振宇, 宗克清, 等. 2013. 北山造山带南缘北山杂岩的锆石U–Pb定年和Hf同位素研究[J]. *岩石学报*, 29(11): 3949–3967.
- 李沅柏, 李海泉, 周文孝, 等. 2021. 北山造山带新元古代热事件及其构造意义: 来自甘肃北山南带两期花岗质岩的地球化学和年代学证据[J]. *地质通报*, 40(7): 1117–1139.
- 牛文超, 任邦方, 任云伟, 等. 2019. 北山北带新元古代岩浆记录: 来自内蒙古哈珠地区片麻状花岗岩的证据[J]. *地球科学*, 44(1): 284–297.
- 许志琴, 刘福来, 戚学祥, 等. 2006. 南苏鲁超高压变质地体中罗迪尼亞超大陆裂解事件的记录[J]. *岩石学报*, (7): 1745–1760.
- 杨鑫, 徐旭辉, 李慧莉, 等. 2017. 塔里木北缘新元古代早期构造演化的锆石U–Pb年代学和地球化学约束[J]. *大地构造与成矿学*, 41(2): 381–395.
- 叶晓峰, 宗克清, 张泽明, 等. 2013. 北山造山带南缘柳园地区新元古代花岗岩的地球化学特征及其地质意义[J]. *地质通报*, 32(2/3): 307–317.
- 余吉远, 李向民, 梁积伟, 等. 2012. 甘新蒙北山地区古生代构造演化研究——北山古生代洋盆开启、闭合时限最新进展[J]. *新疆地质*, 30(2): 205–209.
- 朱强, 曾佐勋, 李天斌, 等. 2018. 华北克拉通对Rodinia超大陆裂解的响应——来自贺兰山北段小松山地区辉长岩地球化学、年代学及Hf同位素的新证据[J]. *地质通报*, 37(6): 1075–1086.
- 左国朝, 刘义科, 李绍雄. 2010. 甘肃北山地区红山铁矿床成因及成矿机制[J]. *甘肃地质*, 19(3): 9–18.